## 参考文献:

- [1] 赖小平, 刘心纯. 石南藤的本草考证[J]. 广州中医学院学报, 1994, 11(2): 105-110.
- [2] 段书涛. 石南藤化学成分的研究[D]. 上海: 复旦大学, 2009.
- [3] 韩桂秋,黄 葵,魏丽华,等. 石楠藤 PAF 受体拮抗剂活性成分的分离和鉴定(I)[J]. 北京医科大学学报,1987,19(4):243-245.
- [4] 韩桂秋,魏丽华,李长龄,等. 石南藤、山蒟活性成分的 分离和结构鉴定[J]. 药学学报,1989,24(6):438-443.
- [5] 黄秀香, 赖红芳, 刘云英. 正交实验法优选石南藤黄酮苷的提取工艺[J]. 应用化工, 2009, 38(7): 1040-1042.
- [6] 王 波,吴连花,孙庆文,等.民族药石楠藤不同种质资源药材的品质分析[J].种子,2014,33(7):60-63.
- [7] Wang P P, Zhao G W, Xia W, et al. A new flavonol C-glycoside and a rare bioactive lignanamide from Piper wallichii Miq. Hand. -Mazz [J]. Chin J Nat Med, 2014, 12 (5): 377-381.
- [8] 雷海鹏, 陈显强, 乔春峰, 等. 山蒟藤茎化学成分研究 [J]. 中药材, 2014, 37(1): 69-71.
- [9] 高 鹏. 离子交换树脂法纯化苦参总生物碱的工艺优选 [J]. 中国实验方剂学杂志, 2011, 17(13): 39-41.
- [10] 李 凤. 大黄等中药材有效成分的分离纯化研究[D]. 聊城: 聊城大学, 2019.
- [11] 邓 雪,周云莉,何 丹,等. N, N-二羟乙基甘氨酸-氢氧化钠缓冲液制备的过氧化氢酶复合纳米脂质体的特性分

- 析及过氧化氢酶的药效学初步研究[J]. 中国医院药学杂志, 2015, 35(17); 1551-1554.
- [12] Mata R, Morales I, Perez O, et al. Antimycobacterial compounds from Piper sanctum [J]. J Nat Prod, 2004, 67 (12): 1961-1968.
- [13] Kumar S, Arya P, Mukherjee C, et al. Novel aromatic ester from Piper longum and its analogues inhibit expression of cell adhesion molecules on endothelial cells [J]. Biochemistry, 2005, 44(48): 15944-159552.
- Oláh Z, Rédei D, Pecze L, et al. Pellitorine, an extract of Tetradium daniellii, is an antagonist of the ion channel TRPV1
   [J]. Phytomedicine, 2017, 34(15): 44-49.
- [15] Le Bars D, Gozariu M, Cadden S W. Animal models of nociception[J]. Pharmacol Rev, 2001, 53(4): 597-652.
- [16] Thomazzi S M, Silva C B, Silveira D C R, et al. Antinociceptive and anti-inflammatory activities of Bowdichia virgilioides (sucupira) [J]. J Ethnopharmacol, 2010, 127 (2): 451-456.
- [17] 郭珅珅. 鼠妇镇痛抗炎作用、物质基础及质量控制的实验研究[D]. 广州:南方医科大学,2016.
- [18] 李祖成,王 月,赵 峰,等. 鸭跖草镇痛活性部位筛选及作用机制研究[J]. 中成药, 2020, 42(11); 3021-3024.
- [19] 陆 怡,朱元章,郭晨旭,等.飞龙掌血提取物的镇痛作用及相关机制研究[J].上海中医药杂志,2015,49(7):82-86.
- [20] 王海华,王海珍,曾 瑾,等. 水溶性蜂胶联合阿司匹林 对大 鼠 炎 性 痛 作 用 [J]. 中 成 药, 2015, 37 (6): 1157-1164.

# 守宫物种鉴定及其抗分枝杆菌活性研究

范 云¹, 韩雪菲¹, 管泽豪¹, 潘沪生¹, 黄维纲¹, 王华梁¹,²\* (1. 上海市临床检验中心,上海 200126; 2. 上海市实验医学研究院,上海 200126)

**摘要:目的** 鉴定守宫物种,并研究其抗分枝杆菌活性。方法 采用 12S rDNA 鉴定物种,刃天青微孔板(REMA)测定提取物抑菌活性。结果 市售守宫对应壁虎科 3 个属。守宫石油醚提取物对"瘰疬"主要致病菌(慢生型分枝杆菌)——瘰疬分枝杆菌、胞内分枝杆菌、结核分枝杆菌的抑制作用最强,最小抑菌浓度(MIC) ≤600 μg/mL,而对速生型分枝杆菌无明显活性。结论 12S rDNA 是鉴定守宫物种的有效方法。守宫提取物具有特异性抗分枝杆菌活性、与《本草纲目》记载基本一致。

关键词: 守宫; 物种; 抗分枝杆菌活性; 12S rDNA; 刃天青微孔板 (REMA)

中图分类号: R282.5

文献标志码:B

文章编号: 1001-1528(2023)03-1011-05

doi:10.3969/j.issn.1001-1528.2023.03.056

收稿日期: 2021-08-24

**基金项目**: 国家重点研发计划项目 (2017YFC0910000); 国家传染病重大专项"十三五"项目 (2017ZX10302201); 上海市卫健委面上项目 (201940341)

作者简介: 范 云 (1979—), 男, 博士, 从事分子微生物学研究。Tel: 15201956015, E-mail: fanyun@sccl. org. cn

\* 通信作者: 王华梁 (1961—), 男, 教授, 从事实验医学研究。Tel: (021) 68316300, E-mail: wanghualiang@ sccl. org. cn

网络出版日期: 2022-01-20

网络出版地址: https://kns.cnki.net/kcms/detail/31.1368. R. 20220119.1645.006. html

分枝杆菌属(Mycobacterium)细菌是重要致病菌,其中的结核分枝杆菌每年导致约 150 万人死亡,是致死人数最多的病原菌<sup>[1]</sup>,各种非结核分枝杆菌引发疾病的种类和数量也在逐年增加<sup>[2]</sup>。目前,相关药物开发已严重滞后,近 50 年来仅有 3 种抗生素新药批准用于结核治疗<sup>[3]</sup>,耐药菌则几乎同时出现<sup>[4]</sup>,非结核分枝杆菌药物开发近乎空白,故探索新的研发策略,开拓新的药物来源已成为当务之急。虽然传统药材是重要研究方向,但研究人员大多只关注植物类<sup>[5-6]</sup>,鲜有涉及动物类。

守宫又称壁虎、天龙等,是传统动物类中药,《本草纲目》记载它具有"疠风瘰疬"功效<sup>[7]</sup>。疠风即麻风病,由麻风分枝杆菌复合群引起,瘰疬则为颈部结核,主要由

非结核分枝杆菌中的瘰疬分枝杆菌、鸟分枝杆菌复合体、结核分枝杆菌引起<sup>[8]</sup>,"疠风瘰疬"的病原菌对应了分枝杆菌3个分类。课题组前期发现,守宫乙醇提取物的石油醚分离部位具有较好的抗结核分枝杆菌活性;本实验结合《本草纲目》,考察守宫提取物对更多致病性分枝杆菌的抑制作用。

基原准确是考察药材功效的基础,但目前守宫基原缺乏权威定义,既未收录于2020年版《中国药典》,也没有部颁标准,只存在于部分地方标准及中药饮片炮制规范<sup>[9]</sup>,并且其物种来源的具体种属存在较大差异(表1),从而影响研究结论的可靠性和重复性<sup>[10]</sup>。为了使结论可靠,本研究采用分子生物学方法鉴定守宫物种。

表 1 守宫物种来源

年份	出处	来源	分类
1994 年	《上海市中药材标准》	壁虎科多疣壁虎或同属他种壁虎	属
1996年	《全国中草药汇编》	壁虎科无疣壁虎、无蹼壁虎或多痣壁虎	种
1999年	《中华本草》	壁虎科无蹼壁虎、多疣壁虎、蹼趾壁虎等	科
2015年	《浙江省中药饮片炮制规范》	壁虎科无蹼壁虎或多疣壁虎或同属动物	属
2016年	《江苏省中药材标准》	壁虎科无蹼壁虎或多疣壁虎	种
2018年	《天津市中药饮片炮制规范》	壁虎科无蹼壁虎或其他几种壁虎	科

#### 1 材料

1.1 药材 6个来源、批次守宫购自上海当地药房及药材市场,经专家鉴定为正品。

1.2 供试菌株 由上海市肺科医院保藏并提供,具体见

表 2 供试菌株信息

表 2。

分枝杆菌	拉丁名	编号或来源	培养温度/℃	培养基
结核分枝杆菌	Mycobacterium tuberculosis	H37Rv	37	7H9+10% OADC
瘰疬分枝杆菌	Mycobacterium scrofulaceum	ATCC 19981	37	CAMHB+5% OADC
胞内分枝杆菌	$My cobacterium\ intracellulare$	ATCC 13950	37	CAMHB+5% OADC
堪萨斯分枝杆菌	Mycobacterium kansasii	ATCC 12478	37	CAMHB+5% OADC
海分枝分枝杆菌	Mycobacterium marinum	ATCC 927	30	CAMHB+5% OADC
龟分枝分枝杆菌	$My cobacterium\ chelonae$	ATCC 14472	30	CAMHB
脓肿分枝分枝杆菌	Mycobacterium abscessus	临床分离	30	CAMHB
偶发分枝杆菌	Mycobacterium fortuitum	ATCC 6841	30	CAMHB
外来分枝杆菌	Mycobacterium peregrinum	ATCC 700686	30	CAMHB

- 1.3 试剂 CAMHB 培养基(上海瑞楚生物科技有限公司); MGIT 改良 Middlebrook 7H9 培养基、OADC 增菌剂、BACTEC MGIT 960 系统配套试剂 (美国 BD 公司); DMSO (二甲亚砜)、异烟肼 [生工生物工程(上海)有限公司]; 多种来源基因组试剂盒、96 孔细胞培养板(美国 Corning 公司)。
- 1.4 仪器 Illumina MiSeq 测序仪 (美国 Illumina 公司); 3730XL 基因测序仪 (美国 ABI 公司)。

# 2 方法

- 2.1 物种鉴定
- 2.1.1 12S rDNA 100 g 药材干燥全体 (个体数≥90个) 碾成粉末,取 100 mg 提取 DNA,使用 12S rDNA 特异性引物 L1091、H1478 进行 PCR 扩增<sup>[11]</sup>,回收 400 bp 条带,Sanger 测序或构建文库后进行二代测序,其拼接序列按照 Mothur (version 1.39.0) <sup>[12]</sup> 去除低质量序列,以一致性 97%

- 为阈值进行 OTU 聚类分析,取含量大于 1%序列与 GenBank 数据库进行 BLASTN 比对,以数据库中一致性最高序列的种属作为该序列的种属特征,鉴定到种。
- 2.1.2 系统发育树 各样本中含量大于 1% 序列, MEGA X 软件 构 建 系 统 发 育 树<sup>[13]</sup>。算 法 采 用 Neighbor-Joining, bootstrap test 设为 1000。
- 2.2 抑菌活性测定
- 2.2.1 提取物制备 取同一批药材粉末 100 g, 加入 1 000 mL 乙醇蒸馏提取 1 h, 过滤回收上清, 重复 2 次, 合并上清, 在旋转蒸发仪上浓缩, 提取物重悬于 500 mL 蒸馏水中,等量石油醚萃取 3 次, 浓缩并冷冻干燥, 称定质量得 18.6 g 提取物, 在 121 ℃下湿热灭菌 20 min, 溶解于 40 mL DMSOE [DMSO-乙醇(10:1)]中, 即得(质量浓度为 460 mg/mL)。
- 2.2.2 待测菌液母液制备 制备浊度相当于标准麦氏 1 号

浊度管的各分枝杆菌母液,培养液稀释 50 倍后,取 200 μL 加入 7 mL 培养液中,即得,使用时取 100 μL,加入等体积培养液。

2.2.3 抑菌活性研究 采用刃天青微孔板 (REMA) 测定 提取物对各受试菌株的最小抑菌浓度 (MIC) (即为防止刃 天青由蓝转粉的最低浓度)[14],培养条件参考美国临床和 实验室标准协会(CLSI)推荐[15],见表 2。96 孔板第一列 孔石油醚提取物终质量浓度为 9.2 或 18.4 mg/mL,以后各 列依次作 2 倍梯度稀释,设置只含培养基的阴性生长对照 孔、不含提取物只含菌液的阳性生长对照孔(指示孔)。对 于速生型分枝杆菌,直接在其中1个指示孔加入32.5 μL 刃天青指示剂 (0.015% 刃天青 20 μL、20% 吐温-80 12.5 μL), 指示孔由蓝变粉时在所有孔中加入指示剂, 3 d 内记录结果;对于慢生型分枝杆菌,培养6d后加指示剂到 其中1个指示孔中,如3d内没有变成粉色则在另一孔中加 入指示剂, 直至指示孔变粉色, 随后所有孔中加入指示剂, 3 d 内记录结果, 所有样本均设3个重复组。为了消除溶剂 DMSOE 对结果的干扰并同时测定其抑菌浓度, 所有分枝杆 菌实验操作均在二级生物安全实验室内进行。

#### 3 结果

#### 3.1 物种鉴定

3.1.1 12S rDNA Sanger 测序显示,部分区段峰形杂乱有重叠,碱基不能正确判读,提示扩增条带不是单一序列,见图 1。建库后二代测序,得到 4 种序列(占序列总数99.6%,相互间同源性低于 97%),占比分别为 40%、27%、26%、7%,均对应壁虎科动物,分别属于蜥虎属(Hemidactylus)、截趾虎属(Gehyra),见表 3。另外,含量最高的 SEQ1(40%)虽注释为 Hemidactylus aquilonius,但同源性仅有 87.2%;SEQ2与 SEQ3 之间同源性仅有 95.8%,却都注释为 Hemidactylus frenatus,不排除不同种的可能性。

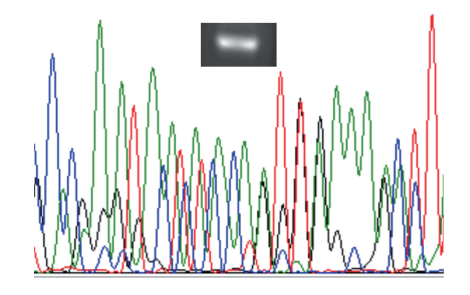


图 1 12S rDNA 片段及 Sanger 测序图

表 3 守宫物种鉴定结果

序列	含量/%	种属	得分	E 值	同源性/%	同源序列
SEQ1	40	Hemidactylus aquilonius	457	$4.00 \times 10^{-124}$	87. 22	KY366209
SEQ2	27	Hemidactylus frenatus	743	0	100.00	KY366197
SEQ3	26	Hemidactylus frenatus	743	0	100.00	KY366195
SEQ4	7	Gehyra mutilata	745	0	99. 75	AY218006

3.1.2 市售药材检测 各批药材中检测到 8 种动物序列, 对应壁虎科 3 个属,而且每种至少包含 3 种动物序列,见 图 2。另外,3 个注释为无蹼壁虎(Gekko swinhonis)的片 段之间同源性小于 97%,不排除不同种的可能性。



图 2 壁虎科动物及系统发育树

#### 3.2 抗分枝杆菌活性研究

3.2.1 慢生型分枝杆菌 分枝杆菌按生长速度(显色时间)划分,可分为慢生型(≥7 d)、速生型(<7 d),而"疠风瘰疬"致病菌均属于慢生型<sup>[2]</sup>。由表 4 可知,石油醚提取物对慢生型分枝杆菌均有一定抑制作用,其中对瘰疬分枝杆菌效果最好,其次为胞内分枝杆菌(属鸟分枝杆菌复合体)、堪萨斯分枝杆菌、结核分枝杆菌,而对海分枝杆菌无明显活性。目前,对天然产物抑菌浓度的阈值尚无定论,本研究参考文献[6]报道,认为守宫提取物对"瘰疬"的3种致病菌(结核分枝杆菌、瘰疬分枝杆菌、胞内分枝杆菌)及堪萨斯分枝杆菌均有较好抑菌活性,具有开发价值。另外,各菌株 MIC 所对应的 DMSOE 含量远低于DMSOE 对各菌株的抑制浓度,可排除它对结果的影响。

表 4 守宫石油醚提取物对慢生型分枝杆菌的抑制作用

分枝杆菌	MIC/(μg·mL <sup>-1</sup> )	DMSOE 含量/%	DMSOE 对各菌株的抑制浓度/%	显色时间/d
瘰疬分枝杆菌	150	≤0.03	3. 13	14
胞内分枝杆菌	300	≤0.06	3. 13	18
堪萨斯分枝杆菌	300	≤0.06	1. 56	22
结核分枝杆菌	600	<b>≤</b> 0. 13	6. 25	21
海分枝分枝杆菌	1 200	≤0. 25	12. 50	7

3.2.2 速生型分枝杆菌 由表 5 可知,石油醚提取物仅对 脓肿分枝杆菌临床分离菌株有微弱的抑制作用,而对龟分枝杆菌、偶发分枝杆菌、外来分枝杆菌均无明显活性。

### 4 讨论

本研究结合 12S rDNA 分子标签与二代测序,提供了一种鉴定守宫药材物种组成的可行方法。壁虎科动物各物种

Vol. 45 No. 3

## 表 5 守宫石油醚提取物对速生型分枝杆菌的抑制作用

分枝杆菌	MIC/(μg·mL <sup>-1</sup> )	DMSOE 含量/%	DMSOE 对各菌株的抑制浓度/%	显色时间/d
脓肿分枝杆菌	2 400	≤0.5	12. 5	4
龟分枝杆菌	>19 200	≤2	12. 5	4
偶发分枝杆菌	>19 200	€2	12. 5	3
外来分枝杆菌	>19 200	≤2	12. 5	3

间不易区分,各地使用习惯不同[10],可能是造成各地方标 准、炮制规程、文献对守宫动物物种来源表述不一致的重 要原因,这引起药材基原准确性困惑,影响对守宫药材评 价及进一步开发。研究发现, 市售守宫药材同时包含多种 壁虎科动物, 因此鉴定方法也应能识别鉴定多个物种并显 示其组成。个别专利使用无蹼壁虎特定标签鉴定守宫[16], 此类方法可鉴别药材是否包含特定物种 (无蹼壁虎), 但无 法获取守宫中包含的其他物种及含量信息。本研究采用动 物通用的 12S rDNA 分子标签,鉴定识别的物种更为全面, 并已用于中药蛤蚧(同属壁虎科)真伪鉴定[17]。同时, 12S rDNA 分子标签结合二代测序解决了守宫样本物种不唯 一、扩增产物不唯一造成的常规测序困难,可同时提供药 材中动物物种及含量信息,是鉴定守宫的有效方法,有助 于厘清守宫基原困扰。同时也需注意到,鉴定结果的种属 信息,来源于数据比对,由于目前缺乏权威的壁虎科动物 数据库, 因此所获得的种属信息并不完全准确, 有待于分 类学的进一步研究, 物种组成与守宫功效之间的对应关系 也有待进一步解析。

从传统药材中寻找活性物质,是当前抗菌新药研发热 点,但多限于药用植物。本项研究表明,抗菌活性物质的 研究不应只局限于植物药材, 从动物中分离抗分枝杆菌活 性物质是可能的。这些活性物质可能源于动物拮抗分枝杆 菌致病菌需要,如壁虎科所在蜥蜴目的多种动物可被溃疡 分枝杆菌等多种分枝杆菌感染[18]。而动物天然免疫系统中 的抗菌肽[19]、抗菌脂[20]以及共生微生物合成的抗生素则 可能是它产生的物质基础。本研究中, 抑菌活性主要存在 于守宫乙醇提取物石油醚分离组分,水提物则无抑菌活性, 推测抑菌活性物质可能是壁虎科动物产生的生物碱、甾体 或脂肪酸, 亦或是这类物质组合, 此外也可能来自共生微 生物所分泌的脂溶性抗生素。本研究中, 守宫提取物只对 特定分枝杆菌有较强抑菌作用,并且与《本草纲目》中记 载"疠风瘰疬"功效较为一致,对"瘰疬"的3种致病菌 均表现出较强抑菌效果。引起"疠风"的麻风分枝杆菌复 合体细菌, 因无法体外培养不在本研究之中, 但守宫提取 物对慢生型分枝杆菌普遍具有抑菌活性,不排除对生长极 端缓慢的麻风分枝杆菌[21]也同样存在抑菌活性。这些结果 提示, 传统本草著作可为在动物药材中开发抗菌活性物质 提供有价值线索。

# 参考文献:

- [ 1 ] World Health Organization. Global tuberculosis report 2020
  [ R ]. Geneva: World Health Organization, 2020.
- [2] Johansen M D, Herrmann J L, Kremer L. Non-tuberculous

- mycobacteria and the rise of Mycobacterium abscessus [J]. Nat Rev Microbiol, 2020, 18(7): 392-407.
- [3] Tweed C D, Dawson R, Burger D A, et al. Bedaquiline, moxifloxacin, pretomanid, and pyrazinamide during the first 8 weeks of treatment of patients with drug-susceptible or drug-resistant pulmonary tuberculosis: a multicentre, open-label, partially randomised, phase 2b trial [J]. Lancet Respir Med, 2019, 7(12): 1048-1058.
- [4] Kadura S, King N, Nakhoul M, et al. Systematic review of mutations associated with resistance to the new and repurposed Mycobacterium tuberculosis drugs bedaquiline, clofazimine, linezolid, delamanid and pretomanid [J]. J Antimicrob Chemother, 2020, 75(8): 2031-2043.
- [5] Lakshmanan D, Werngren J, Jose L, et al. Ethyl p-methoxycinnamate isolated from a traditional anti-tuberculosis medicinal herb inhibits drug resistant strains of Mycobacterium tuberculosis in vitro[J]. Fitoterapia, 2011, 82(5): 757-761.
- [6] Abreu A C, McBain A J, Simoes M. Plants as sources of new antimicrobials and resistance-modifying agents [J]. *Nat Prod Rep*, 2012, 29(9): 1007-1021.
- [7] 李时珍. 本草纲目[M]. 北京: 人民卫生出版社, 1982.
- [8] Wilson J W, Jagtiani A C, Wengenack N L. Mycobacterium scrofulaceum disease: experience from a tertiary medical centre and review of the literature [J]. Infect Dis (Lond), 2019, 51 (8): 602-609.
- [9] 张 荳. 壁虎烘制工艺及烘制品质量评价研究[D]. 北京: 北京中医药大学, 2020.
- [10] 蓝鸣生. 中药壁虎资源、临床及药理学研究进展[J]. 内科, 2011, 6(4): 331-334.
- [11] Kocher T D, Thomas W K, Meyer A, et al. Dynamics of mitochondrial DNA evolution in animals: amplification and sequencing with conserved primers [J]. Proc Natl Acad Sci USA, 1989, 86(16): 6196-6200.
- [12] Schloss P D, Gevers D, Westcott S L. Reducing the effects of PCR amplification and sequencing artifacts on 16S rRNA-based studies[J]. PLoS One, 2011, 6(12): e27310.
- [13] Kumar S, Stecher G, Li M, et al. MEGA X: molecular evolutionary genetics analysis across computing platforms [J]. Mol Biol Evol, 2018, 35(6): 1547-1549.
- [14] Jadaun G P S, Agarwal C, Sharma H, et al. Determination of ethambutol MICs for Mycobacterium tuberculosis and Mycobacterium avium isolates by resazurin microtitre assay [J]. J Antimicrob Chemother, 2007, 60(1): 152-155.
- [15] CLSI M24-A22011, Susceptibility testing of Mycobacteria, Nocardiae, and other Aerobic Actinomycetes [S].
- 「16 ] 李建生. 一种鉴定中药守宫的特异性引物、试剂盒及鉴别

Vol. 45 No. 3

方法:中国, CN201710254140.5[P]. 2017-06-20.

- [17] 苏燕燕, 丁丹丹, 马婷玉, 等. 蛤蚧及其混伪品基于 128 rRNA 序列的 Bar-HRM 鉴定研究 [J]. 中国现代中药, 2019, 21(9): 1197-1205.
- [18] Portaels F, Chemlal K, Elsen P, et al. Mycobacterium ulcerans in wild animals[J]. Rev Sci Tech, 2001, 20(1): 252-264.
- [19] Mookherjee N, Anderson M A, Haagsman H P, et al.
- Antimicrobial host defence peptides: functions and clinical potential [J]. *Nat Rev Drug Discov*, 2020, 19(5): 311-332.
- [20] Fischer C L. Antimicrobial activity of host-derived lipids [J]. Antibiotics (Basel), 2020, 9(2): 75.
- [21] Adams L B. Susceptibility and resistance in leprosy: studies in the mouse model [ J ]. *Immunol Rev*, 2021, 301 (1): 157-174.

# 滇重楼根茎腐病的致病菌分离鉴定及致病性研究

张莹莹1,2, 王开玲1,3, 赵志莲4\*, 李海峰1,3\*

[1. 大理大学药学院,云南 大理 671000; 2. 山西省临汾市中心医院,山西 临汾 041000; 3. 云南省滇西抗病原植物资源筛选研究重点实验室 (培育),云南 大理 671000; 4. 大理农林职业技术学院,云南 大理 671000]

摘要:目的 探究滇重楼根茎腐病的致病菌类型及致病性。方法 采用微生物学方法及 18S rRNA 测序技术对滇重楼 根茎腐病的致病菌进行分离鉴定,并通过离体回接法对分离鉴定的植物致病菌进行致病性验证。结果 从根茎腐病的 滇重楼植物样品中分离鉴定出 7 株镰孢菌属致病真菌,包含 5 株尖孢镰刀菌 Fusarium oxysporum 和 2 株腐皮镰刀菌 Fusarium solani,分离鉴定的 7 株真菌均具有一定的致病性。结论 镰孢菌属尖孢镰刀菌和腐皮镰刀菌真菌是滇重楼 根茎腐病的主要致病菌,对有效防治有重要参考价值。

关键词: 滇重楼; 根腐病; 植物致病菌

中图分类号: R282 文献标志码: B

文章编号: 1001-1528(2023)03-1015-04

doi: 10. 3969/j.issn.1001-1528. 2023. 03. 057

滇重楼 Paris polyphylla var. yunnanensis (Franch.) Hand. -Mazz. 为百合科重楼属多年生草本植物<sup>[1-2]</sup>,是云南药用植物资源中占据产业化利用主导地位、最具代表性和全局影响力的道地药材之一<sup>[3]</sup>。野生资源是滇重楼药材的主要来源,由于药材需求量巨大,每年的消耗量远远超出野生资源的年再生能力,加之资源再生周期长(平均需要 8~12 年)<sup>[4]</sup>。野生资源利用已经发展成为严重的资源危机<sup>[5]</sup>,药材种植是实现药用植物资源规模化再生的有效途径,滇重楼种植已经在云南打赢脱贫攻坚战中发挥重要作用。

滇重楼还是《全国道地药材生产基地建设规划(2018—2025年)》西南道地药材产区主攻方向大力发展相对紧缺品种之一<sup>[6]</sup>。但是,随着滇重楼种植产业的快速发展,在经济利益的驱使下,由于盲目引种、种植模式、气候及土壤等生态环境因素等改变,不仅影响滇重楼品质,

还致使滇重楼病害问题日益凸显,特别是滇重楼根茎腐病(产地俗称"根腐"),典型病害症状为受害根茎从尾部逐渐开始腐烂,腐烂部位呈湿状软腐或绵状软腐,染病根茎表皮颜色黑褐色,最后浸染新鲜茎部(产地俗称"茎腐"),直至根茎、茎、叶枯萎死亡<sup>[7-8]</sup>。滇重楼根茎腐病被称作滇重楼癌症,在滇重楼漫长的生长过程中只要患病可以导致绝收,是滇重楼种植最大的风险来源,严重制约相关产业的发展<sup>[9-10]</sup>。

因此,本实验拟采用微生物学实验方法及18S rRNA测序技术对导致滇重楼根茎腐病的致病菌进行分离鉴定,再通过离体回接法对分离鉴定的植物致病菌进行致病性验证,明确滇重楼根茎腐的主要致病菌类型,以期为滇重楼种植及根茎腐病的防治提供依据。

## 1 材料

1.1 仪器 SW-CJ-2F型超净工作台(苏州安泰空气技术

收稿日期: 2022-07-10

基金项目:云南省地方高校联合专项项目 (2019FH001-031);云南省滇西抗病原植物资源筛选研究重点实验室 2021 年度开放课题 (APR202108);大理农林职业技术学院资助项目 (2016)

作者简介: 张莹莹 (1992—), 女, 硕士生, 从事药用植物品质评价及生物技术研究。Tel: 18334578665, E-mail: 3255087594@

\* 通信作者: 赵志莲 (1972—), 女,副教授,从事药用植物品质评价及生物技术研究。E-mail: 2630881673@qq.com 李海峰 (1971—),男,教授,从事药用植物品质评价及生物技术研究。Tel: (0872) 2219313, E-mail: lihfzh888@sina.com